

Член строительного союза СССР

Московское
ордена Ленина и ордена Трудового Красного Знамени
высшее техническое училище им. Н. Э. Баумана

ЗАДАНИЯ
ДЛЯ КУРСОВОГО ПРОЕКТА
ПО КУРСУ
„ТЕОРИЯ МЕХАНИЗМОВ“

Выпуск 6

Москва

1976

Министерство высшего и среднего специального образования СССР

Московское ордена Ленина и ордена Трудового Красного Знамени
высшее техническое училище им. Н.Э.Баумана

ЗАДАНИЯ
для курсового проекта по курсу
"ТЕОРИЯ МЕХАНИЗМОВ"

Выпуск 6

Под редакцией В.А.Никонорова

Москва

Задание № 79

Задания для курсового проекта издаются в соответствии с учебными планами специальностей факультетов АМ, К, М, Э и вечернего отделения.

Рассмотрены и одобрены кафедрой теории механизмов 25/II-75 г., Методической комиссией факультета ОТ и Учебно-методическим управлением.

Задания составили преподаватели: И.В.Леонов (задание № 79), Ю.И.Барин (задание № 80), Н.У.Колосова (задание № 81), Н.А.Глухов (задание № 82), С.А.Попов (задание № 83), Л.С.Немкович (задание № 84), В.А.Никоноров (задание № 85), К.П.Шербакова (задание № 86), Э.В.Петров (задание № 87), А.А.Савелова, Б.А.Новосельский (задание № 88). Рисунки подготовлены Е.М.Жуковой.

Сборник заданий подготовлен к печати комиссией в составе Т.А.Архангельской, З.С.Малышевой, А.С.Мастрюковой, В.А.Никонорова, С.А.Попова, Н.А.Скворцово.

ПРОЕКТИРОВАНИЕ И ИССЛЕДОВАНИЕ МЕХАНИЗМОВ МОТОРОЛЛЕРА

Механизмы движения мотороллера объединяют одноцилиндровый двухтактный двигатель внутреннего сгорания и вспомогательные устройства: механизм газораспределения и механизм привода вентилятора (рис. 79).

Основным механизмом двигателя является кривошипно-ползунный (рис. 79а), который состоит из кривошипа I, шатуна 2 и поршня 3. Диаграмма изменения давления в цилиндре 4 двигателя (рис. 79б) строится по данным табл. 79-2. Рабочий цикл двухтактного двигателя осуществляется за один оборот кривошипа.

Управление газораспределением д.в.с. осуществляется кулачковым механизмом, состоящим из кулачка 5 и толкателя 6 с роликом 7, действующими на выпускной клапан 8. Для прижима ролика к кулачку используется цилиндрическая пружина 9. Движение распределительного вала обеспечивается парой зубчатых колес I0 и II, передаточное отношение которой $i_{10-II} = 1$. Закон изменения ускорения толкателя в пределах рабочего угла поворота δ_p кулачка показан на рис. 79в.

Для привода вентилятора 15 охлаждения д.в.с. использован планетарный редуктор 12-13-14 (рис. 79г) с числом сателлитов $K = 8$.

Запуск двигателя начинается с нижней мертвоточки $\varphi_1 = 0$ с начала участка сжатия при начальной угловой скорости вращения $\omega_{1, \text{нач}} = 0$ и производится вручную моментом запуска M_j . Можно считать, что необходимый для запуска крутящий момент M_j не зависит от угла поворота кривошипа и равен максимальному значению приведенного момента силы давления сжатия.

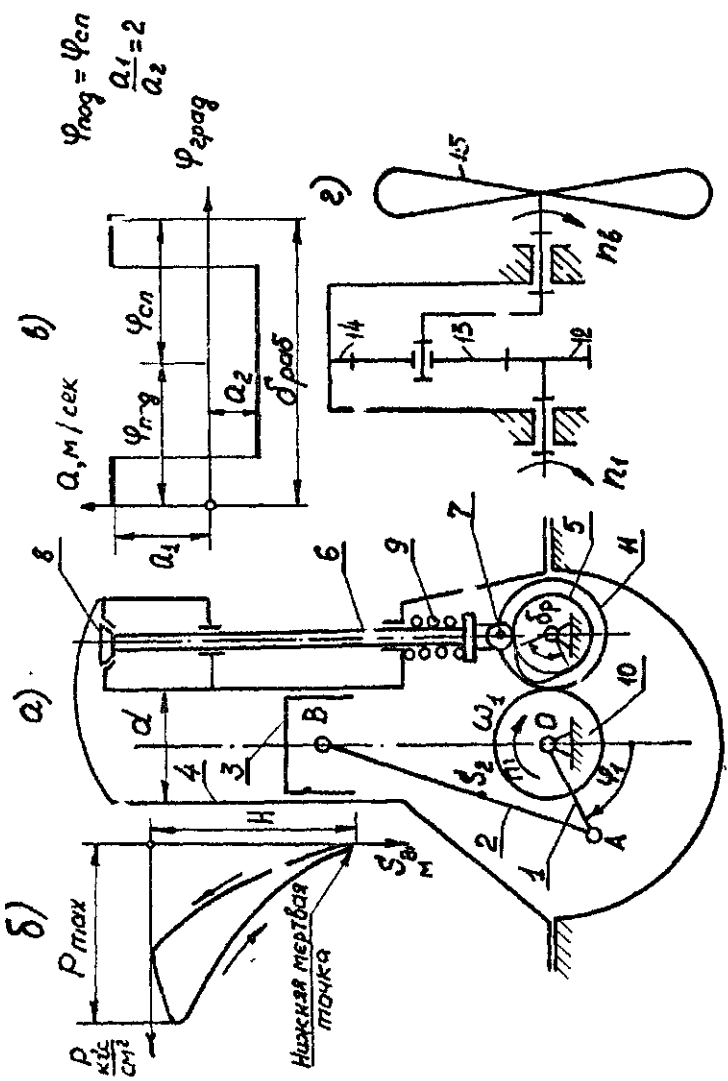


Рис. 79

Таблица 79-1

Исходные данные

№ по под.	Наименование параметра	Обозначение	Размерность	Числовое значение для вариантов				Д
				А	Б	В	Г	
1	Средняя скорость поршня	$v_d \text{ м/сек}$	м/сек	10	11	12	13	12
2	Число оборотов коленчатого вала наnominalном режиме	$n, \text{ном} \text{ об.мин}^{-1}$	об.мин^{-1}	4000	4200	4000	4200	4300
3	Диаметр цилиндра	$d, \text{ном} \text{ м}$	м	0,082	0,082	0,085	0,085	0,086
4	Отношение длины шатуна к длине кривошипa	ℓ_{43}/ℓ_{45}	-	3,7	3,75	3,6	3,65	3,6
5	Отношение расстояния от точки А до центра тяжести шатуна к общей длине шатуна	G_2/ℓ_{45}	-	0,3	0,3	0,32	0,32	0,33
6	Сила тяжести шатуна	$G_3 \text{ кгс}$	кгс	0,4	0,4	0,42	0,42	0,41
7	Сила тяжести поршня	$G_5 \text{ кгс}$	кгс	0,42	0,42	0,44	0,44	0,46
8	Частота вращения шатуна относительно центра тяжести	$J_{52} \text{ кгс.м.сек}^2$	кгс.м.сек^2	0,000250	0,00027	0,0003	0,00032	0,00026
9	Момент инерции коленчатого вала с маятником	$J_0 \text{ кгс.м.сек}^2$	кгс.м.сек^2	0,01	0,0105	0,0115	0,011	0,012
10	Угловая координата крыла для силового расчета (от начальной мертвной точки такта ската)	$\varphi, \text{ град}$	град	190	200	220	200	210
11	Максимальное давление в цилиндре	$P_{max} \text{ кгс.см}^2$	кгс.см^2	25	27	29	30	26
12	Число зубьев колеса 10	$Z/10$	-	20	16	18	20	18
13	Межцентровое расстояние	$A, \text{м}$	м	0,101	0,081	0,091	0,081	0,073

Продолжение табл. 79-1

	1	2	3	4	5	6	7	8	9
14	Модуль зубчатых колес II и III	77	77	55	55	55	55	44	44
15	Передаточное отношение планетарного редуктора	1,6	-	6	7	8	6,5	7,5	
16	Ход толкателя кулачкового механизма	4	и	0,009	0,0085	~0,0095	0,010	0,008	
17	Угол рабочего профиля кулачка	6°	и	70	65	60	70	65	
18	Максимально допустимый угол давления кулачка	α _{best}	град	28	30	28	30	35	

Таблица 79-2
Давление в цилиндре двигателя (в доли максимального давления)
в зависимости от положения поршня

Путь поршня (в доли хода H')	$\frac{S}{H'}$	0	0,025	0,05	0,1	0,2	0,3	0,4	0,5	0,6	0,7	0,8	0,9	1,0
Сжатие	P/P_{max}	0,29	0,23	0,20	0,16	0,11	0,08	0,06	0,04	0,03	0,0250,0000	0,0070,0000	0,0030,0000	
Расширение	F/F_{max}	0,29	1,0	0,9	0,71	0,50	0,36	0,29	0,24	0,19	0,1650,1350,1150,0005			

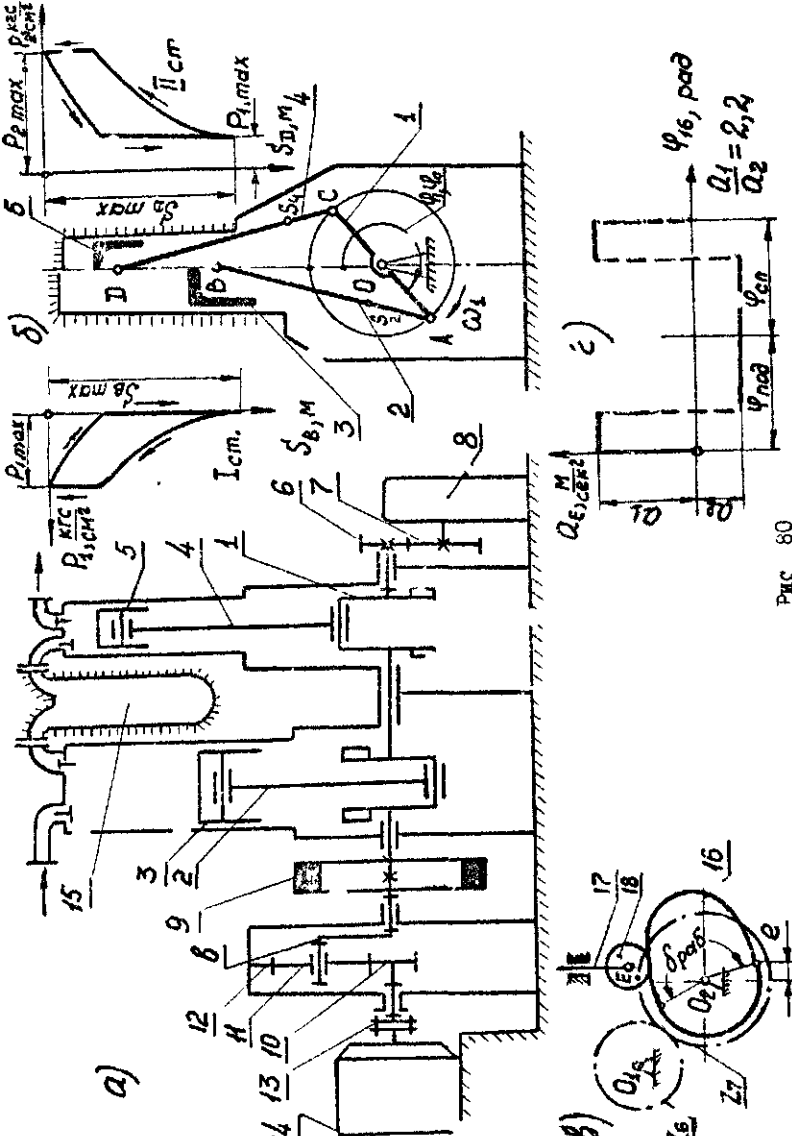
Задание № 80

ПРОЕКТИРОВАНИЕ И ИССЛЕДОВАНИЕ МЕХАНИЗМОВ ДВУХСТУПЕНЧАТОГО ДВУХЦИЛИНДРОВОГО РОЗДУШНОГО КОМПРЕССОРА

Механизмы компрессора приводятся в движение от электродвигателя I4 (рис. 80а). Через муфту I9 и планетарный редуктор (I0, II, I2 и водило 6) приводится во вращение коленчатый вал I, шатуны 2 и 4 и горшки 3 и 5. При движении поршня 3 первой ступени вниз в цилиндре образуется разрежение и воздух заполняет цилиндр. При движении поршня 3 вверх всасывающий клапан закрыт и воздух в цилиндре сжимается до давления P_{1max} . При этом давлении автоматически открывается выпускной клапан и сжатый воздух поступает в промежуточный ресивер-холодильник I5. После холодильника воздух с давлением P_{1max} поступает в цилиндр второй ступени, где аналогичным образом сжимается до давления

P_{2max} и затем поступает потребителю. Характер изменения давления в цилиндрах I и II ступеней в зависимости от хода поршней показан на индикаторных диаграммах (рис. 80б), данные для построения которых приведены в табл. 80-2. Для обеспечения движения машинного агрегата с заданной неравномерностью на коленчатом валу установлен маховик 9. Смазка механизма осуществляется с помощью плунжерного масляного насоса 8, толкатель I7 которого с роликом I8 приводится в движение от кулачка I6 (рис. 80в), закрепленного на оси зубчатого колеса 7. Закон изменения ускорения толкателя приведен на рис. 80г.

После выключения электродвигателя при положении кривошипа φ_0 компрессор, продолжая нагнетание воздуха, постепенно останавливается. Требуется определить закон движения кривошипа и время первого оборота его после выключения электродвигателя, а также число оборотов до полной остановки компрессора, условно считая при этом, что индикаторная диаграмма сохраняется той же.



Исходные данные

№ по под.	Назначение параметра	Обозна- чение	Размер- ность	Числовые значения для вариантов				
				A.	B	V	Г	Д
1	Средняя скорость поршня	V_{cp}	м/сек	5,2	5,0	4,8	5,0	5,1
2	Скорость вращения коленча- того вала	n_1	об/мин	730	650	655	700	630
3	Отношение длии шатунов к длине кривошипов	$\frac{L_{AB}}{L_{CA}} = \frac{L_{CD}}{L_{DA}}$	-	4,0	4,2	4,2	4,1	4,2
4	Положение центров тяжести шатунов	$\frac{L_{AS_1}}{L_{AS_2}} = \frac{L_{DS_1}}{L_{DS_2}}$	-	0,25	0,28	0,29	0,27	0,3
5	Скорость вращения вала электродвигателя	$n_{эд}$	об/мин	3000	2950	2940	2930	2930
6	Диаметр цилиндра I ступе- ни	d_1	м	0,35	0,38	0,37	0,4	0,36
7	Диаметр цилиндра II стуле- ни	d_2	м	0,2	0,215	0,18	0,23	0,205
8	Максимальное давление в цилиндре I ступени	$P_{1,max}$	кгс/см²	2,4	2,6	3	2,5	2,8
9	Максимальное давление в цилиндре II ступени	G_3	кгс	8	8,7	10	8,4	9,4
10	Вес поршня I ступени	G_5	кгс	50	40	51	42	42
11	Вес поршня II ступени	$G_7 = G_4$	кгс	26	32	21	36	29
12	Вес шатунов	G_2	кгс	22	26	19	23	22
13	Момент инерции шатунов от- носительно осей, проходя- щих через центр тяжести шатунов	$J_{25} = J_{45}$	кгс·м·с²	0,05	0,06	0,05	0,06	0,06
14.	Момент инерции шатунов от- носительно осей, проходя- щих через центр тяжести шатунов	$J_{12} = J_{34}$	кгс·м·с²	0,35	0,42	0,46	0,36	0,36

$$\delta = \frac{1}{50}$$

Таблица 80-1

Приложение табл. 80-1

	2	3	4	5	6	7	8	9
15	Сумма моментов инерции звеньев в редукторе, приведенных к коленчатому валу	J_{red} кгс·м	J_{red} кгс·м ²	0,08 1,0	0,082 1,8	0,073 2,0	0,084 2,0	0,078 1,9
16	Момент инерции механизма							
17	Угловая координата кривошипа в момент выключения электродвигателя							
18	Угловая координата кривошипа при силовом расчета	φ_1 град	0 150	180 120	0 60	180 60	0 60	0 120
19	Число светильников планетарного редуктора	K -	- 3	4 12/24	4 14/11	4 13/24	4 13/24	3 13/24
20	Глубина зубьев к лес	Z_6/Z_7 z_7	2,5 2b	2,5 30	3,0 32	3,0 32	3,0 32	2,5 30
21	Модуль зуса на колес 6 и 7	ММ						
22	Угол наклона зубьев колес 6 и 7	β град	0,02 180	0,025 220	0,018 235	0,02 200	0,02 210	0,022 30
23	Насечочный ход толкателя кулачкового механизма	k м	0,008 0,008	0 0	0,01 0,01	0 0	0 0	0 0
24	Угол резьбового профиля кулачка	$d_{\text{ prof}}$ м						
25	Выносность толкателя	e град	20	21	22	24	24	25
26	Допустимый угол давления в кулачковом механизме	$\alpha_{\text{ доп}}$ град						

Таблица 80-2

Давление воздуха в долях от P_{\max} и углы $\rho_{2,n,x}$ в зависимости от положения поршня

Относительное перемещение поршня		0	0,1	0,2	0,3	0,4	0,5	0,6	0,7	0,8	0,9	1,0
I	Поршень 3 звено вниз	$\frac{\rho_1}{\rho_{1,\max}}$	1,0	1,0	0,95	0,98	0,27	0,18	0,12	0,08	0,04	0
II	Поршень 5 звено вниз	$\frac{\rho_2}{\rho_{2,\max}}$	1	1	0,7	0,59	0,5	0,42	0,27	0,14	0,32	0,3

Задание № 8I

ПРОЕКТИРОВАНИЕ И ИССЛЕДОВАНИЕ ЭХАН.ЭМОВ ОДНОЦИЛИНДРОВОЙ ДВУХСТЕПЕНЧАТОЙ КОМПРЕССОРНОЙ УСТАНОВКИ

Компрессорная установка предназначена для получения сжатого воздуха. Коленчатый вал I компрессора (рис. 8Ia) получает вращение от электродвигателя 8 через планетарный редуктор 9-13, муфту 14 и приводит в движение поршень 7 через шатун 2. Для обеспечения заданной равномерности движения на валу I установлен масовик 10.

Поршни 3 и цилиндр 4 образуют две рабочие полости: камеру I ступени (полость низкого давления) и камеру II ступени (полость высокого давления). При движении поршня вниз из атмосферы через клапан 5 поступает в камеру I ступени (линия $\alpha - \beta$ индикаторной диаграммы на рис. 8Iб). При обратном движении поршня (вверх) клапан 3 закрывается и воздух, заполнивший камеру I ступени, сжимается до давления $P_{I\max}$ (линия $\beta - c$). В это же время в камере II ступени происходит расширение остатков сжатого воздуха (линия $f - c$). Когда давление в камере I ступени сравняется с давлением в камере II ступени, открывается клапан 6 и воздух начнет перетекать из первой во вторую камеру. При дальнейшем движении поршня вверх давление воздуха в обеих камерах остается постоянным (линия $c - d$) $P_{I\max} = 5 \text{ кгс}/\text{см}^2$. При движении поршня вновь вниз в камере I ступени будет происходить сначала расширение остаточного воздуха (линия $d - \alpha$), а затем всасывание воздуха из атмосферы через клапан 5. В это же время во второй камере воздух сжимается от давления $P_{II\min} = 5 \text{ кгс}/\text{см}^2$ до давления $P_{II\max} = 50 \text{ кгс}/\text{см}^2$ (линия $d - e$) и через клапан 7 нагнетается в резервуар.

Индикаторные диаграммы строятся по данным табл. 8I-2. Смазка подвижных соединений осуществляется плунжерным насосом 18 кулачкового типа (рис. 8Iв), который приводится в движение от вала I через зубчатую передачу Z_{16} и Z_{17} .

Схема кулачкового механизма 18-19 и закон изменения ускорений плунжера 19 в пределах угла рабочего профиля кулачка $\varphi_{раб} = \varphi_{раб}$ показаны на рис. 8Iв и рис. 8Iг.

Примечания: 1. Диаграмма угловой скорости $\omega_1 = f(\varphi_1)$ строится на третьем обороте кривошипа с момента запуска, угол φ_1 откладывается по направлению ω_1 от верхнего вертикального положения. При этом надо считать, что $\omega_{нач}$ третьего оборота равна угловой скорости в конце второго оборота ($\omega_1/2$), а движущий момент M_g^{**} постоянен.

2. Число сателлитов планетарного механизма $K = 3$.

3. Радиус скругления толкателя плунжера $r_E = 0,25 r_0$ (r_0 — начальный радиус кулачка).

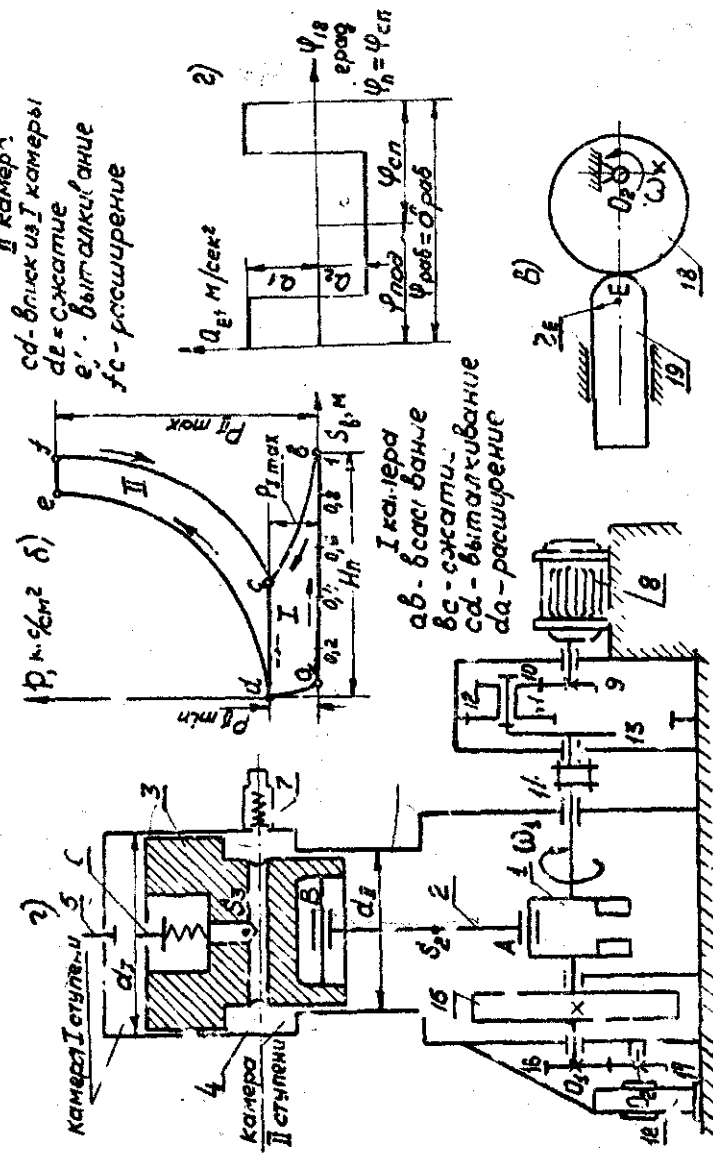


Рис. 8.1.

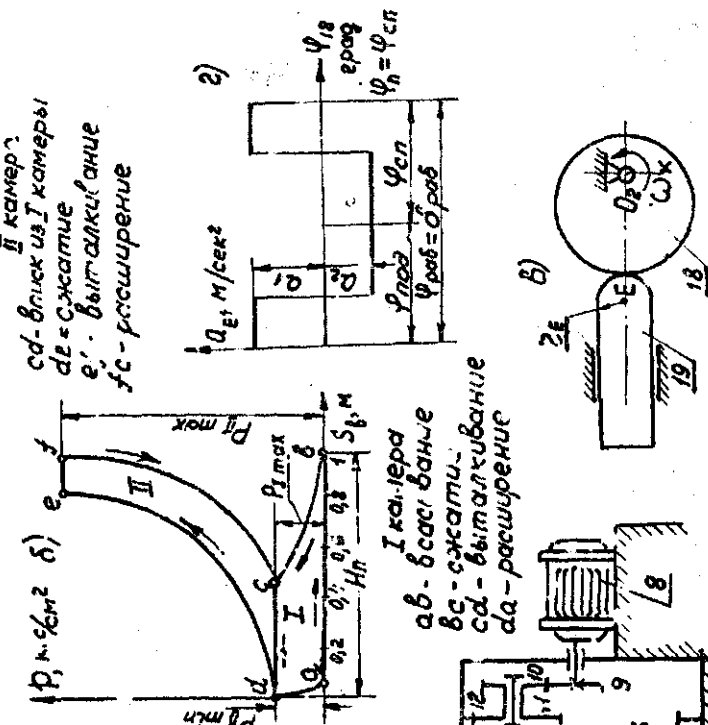


Таблица 8I-I

Исходные данные

№ пор.	Наименование параметра	Обозна- чение	раз- но- сть	Числовые значения для вариантов	Для варианта			
					A	B	C	D
I	Скорость вращения коленчатого вала	ν_{cp}	об/мин м/сек	300 1,0	300 1,2	400 1,3	440 1,4	420 1,5
2	Средняя скорость поршня 3				3,6 0,38	4,0 0,25	3,9 0,26	4,4 0,33
3	Отношение длины катуна 2 к длине катуна коленчатого вала I	ℓ_{AS}/ℓ_{AB}	-		0,68 0,59	0,16 0,10	0,16 0,13	0,18 0,15
4	Положение центра тяжести шатуна	α_1^1	м		15,25 14,30	14,00 14,00	13,80 13,80	13,50 13,50
5	Диаметр поршня	d_p	мм		5,0 4,9	5,5 5,0	6,0 6,0	6,2 7,0
6	Момент движущих сил, приведенных к коленчатому валу I	M_g	кгс		9,0 8,5	8,5 8,0	7,5 7,0	7,0 7,0
7	Сила тяжести поршня	G_1	кгс					
8	Сила тяжести шатуна	G_2	кгс					
9	Момент инерции катуна относительно оси, проходящей через центр тяжести	J_{25}	кгс·м·сек ²	0,0033 0,0044	0,0048 0,0044	0,0044 0,0044	0,0044 0,0044	0,0033 0,0033
10	Скорость вращения электродвигателя	ν_{ge}	об/мин	2700	2650	3000	2600	2200
II	Момент инерции коленчатого вала II	J_{2e}	кгс·м·сек ²	0,01 0,01	0,66 0,71	0,77 0,77	0,77 0,77	0,67 0,67
12	Момент инерции плавающего редуктора, приведенный к коленчатому валу	$J_{red}^{(G2)}$	кгс·м·сек ²	0,08 0,08	0,09 0,1	0,1 0,1	0,11 0,11	0,12 0,12
13	Невходовой момент ротора электродвигателя с муфтой, приведенный к коленчатому валу	$(G2)^{(D)}$	кгс·м ²	0,2 0,2	0,23 0,23	0,3 0,3	0,25 0,25	0,3 0,3

$$\zeta = \frac{1}{50}$$

Продолжение табл. 81-1

	1	2	3	4	5	6	7	8	?
14	Угловая скорость кривошила в конце второго оборота	ω_1 / ω_2	1,07	1/сек	22,0	47,7	40,8	41,0	44,0
15	Угловые координаты для сило-вого ряда и для построения диаграммы угловой скорости кривошина	γ_1 γ_2 γ_3 γ_4	град	150 12 18 4	120 15 20 4	105 14 22 5	90 15 18 5	135 12 20 4	
16	Число зубьев колес	Z_{16} Z_{17} Z_{18}	мм	- - 340	12 15 320	14 20 300	18 22 280	20 20 360	
17	Модуль колес	a_p	м	0,014	0,016	0,018	0,02	0,02	
18	Рабочий угол профиля кулачка	h_{19}	м	-	2,5	2,4	2,2	2,0	
19	Максимальный ход плунжера (толкателя)	a_1/a_2	м	-	2,5	2,4	2,2	2,0	
20	Опоры на мелкую величину ус-кренки	a_{20}	мм	20,0	25,0	15,0	30,0	20,0	
21	Допустимый угол давления в ку-лачках зон механизма	$\alpha_{\text{дел}}$	град	-	-	-	-	-	

Давление на поршень в золотухах $P_{\text{зол}}$ в зависимости от положения шарнира S_6

Путь поршня	S_6 / r_6	0,0	0,1	0,2	0,3	0,4	0,5	0,6	0,7	0,8	0,9	1,0
I канистра	ρ	1,0	0	0	0	0	0	0	0	0	0	0
I ступеней	$\rho_{I \text{ макс}}$	1,0	1,0	1,0	1,0	0,5	0,3	0,2	0,15	0,10	0,05	0
Камера	ρ	0,1	0,12	0,12	0,15	0,18	0,22	0,28	0,36	0,5	1,0	1,0
II ступени	$\rho_{II \text{ макс}}$	0,1	0,1	0,1	0,1	0,1	0,17	0,22	0,3	0,5	1,0	1,0

Таблица 81-2

Задание № 82

ПРОЕКТИРОВАНИЕ И ИССЛЕДОВАНИЕ МЕХАНИЗМОВ МЕМБРАННОГО НАСОСА

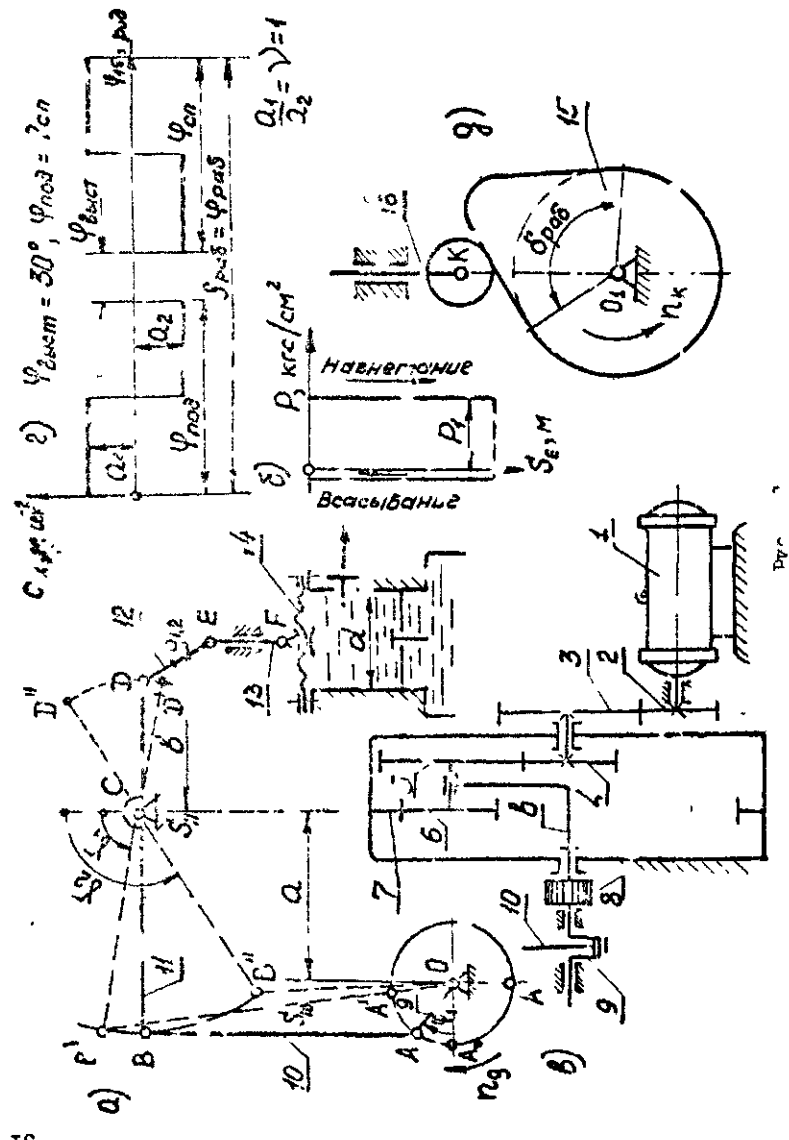
Мембранный насос предназначен для откачки жидкости с небольшими глубинами. Мембрача I4 насоса (рис. 82а, в) приводится в движение от электродвигателя I через зубчатую передачу 2-3, планетарный редуктор 4-5-6-7-8 и шестизвездный рычажно-ползуний механизм 9-10-II-12-13.

Характер изменения давления в цилиндре насоса представлен индикаторной диаграммой (рис. 82б). Приведенный момент двигателя при запуске M_g^{pp} можно принять постоянным. Для смазки подвижных соединений механизма используется плунжерный насос с кулачковым приводом I5-I6 (рис. 82е, д). Закон изменения ускорения толкателя I6 в пределах угла поворота $\delta_{\text{раб}}$ кулачка приведен на рисунке 82г.

Примечания: 1. Шестизвездный механизм проектируется по заданному коэффициенту изменения скорости K_v звена 13, угол размаха r_1 и r_2 , длинам звеньев l_{BC} , l_{CA} , l_{AB} и размерам a и b .

2. Давление всасывания принять равным атмосферному
3. Запуск установки осуществляется с позиции кривошипа OA_0 при $\omega_1 = 0$.
4. Центры масс звеньев расположены: для звена 9 - в точке O ; для звена II - в точке C ; для звеньев 10 и 12 - посередине их длины.

5. Геометрический расчет зубчатой передачи производести для зубчатых колес 2-3.



91

Табл. № 82-1

Исходные данные

№ пор. пос.	Наименование параметров	Обозна- чение	Размер- ность	Числовые значения для вариантов				
				A	B	V	Г	Д
1	Коэффициент изжадности сечения	K_V	-	1,2	1,1	1,2	1,25	1,25
2	Скорости потока в звездах	f_1, f_2	град	70	75	80	85	70
3	Расстояние	a	м	0,09	0,12	0,12	0,05	0,10
4	Расстояние	b	м	0,38	0,12	0,20	0,07	0,22
5	Длина коронки	l_{BC}	м	0,34	0,40	0,36	0,32	0,38
6	Длина звезды	l_{CD}	м	0,10	0,13	0,20	0,07	0,21
7	Длина звезды	l_{DE}	м	0,25	0,24	0,20	0,22	0,18
8	Скорость рабочего колеса	n_g	об/мин	1440	1440	900	375	900
9	Скорость звезды криволинейной и устремляющейся в зеве звезды	n_f	об/мин	60	65	40	45	35
10	Скорость криволинейного звезды	$G_9, G_{10}, G_{11}, G_{12}, G_{13}$	кгс	10	12	15	10	12
11	Сила тяести на пульте	G_{14}	кгс	5	6	5	5	4
12	Сила тяести звезды	G_{15}	кгс	15	11	12	9	10
13	Сила тяести звезды	G_{16}	кгс	6	4	5	6	4
14	Сила тяести звезды	G_{17}	кгс	3	4	5	3	4
15	Сила тяести звезды	G_{18}	кгс	0,020	0,012	0,023	0,010	0,012

1	2	3	4	5	6	7	8	9
16	Момент инерции звена 6 взвешенного в чрвячном механизме	$J_{5,6}$ кгс·м·сек ²	0,04	0,02	0,02	0,03	0,03	0,03
	зр в зв АБ	J_5 кгс·м·сек ²	0,010	0,013	0,012	0,007	0,013	
	звена БД	$J_{5,2}$ кгс·м·сек ²	0,003	0,004	0,013	0,003	0,004	
	звена ДЕ	$J_{5,2}$ кгс·м·сек ²	0,003	0,004	0,013	0,003	0,004	
17	Максимальный момент ротора приводителя	M_D кгс·м ²	1,2	1,2	1,1	1,3	1,1	
18	Сжатие чехлов инструментов плавательного кресла, кгс, при единичном давлении в плавательном (при погружении)	\sqrt{P} кгс·м ²	0,195	0,207	0,210	0,194	0,210	
19	Давление в плавательном (при погружении)	P кгс/см ²	1	1,2	1	1,1	1,2	
20	Диаметр цилиндра	d м	0,25	0,24	0,30	0,26	0,26	
21	Число оборотов ступицы звена 1 при давлении в кульевых механизмах	$n_{1,0}$ град	30	35	30	30	30	
22	Угловая скорость для силового расцепа	φ град	10	15	20	5	20	
23	Ход толкателя кулачкового механизма	h м	0,03	0,05	0,09	0,05	0,09	
24	Число обратных кулачка	n_k об/мин	120	110	140	100	120	
25	Угол разбочечного профиля кулачка	α_{prof} град	140	150	160	170	180	
26	Диаметр колес 2, 3	D_2, D_3 мм	8	5	4	6	5	
27	Число зубьев колес 2, 3	Z_2, Z_3	-	11/21	12/18	13/19	11/22	
28	Число секторов в редукторе К	K	-	3	3	4	3	
29	Давление на момент электровинта	M_{F5} кгс·м	25	25	30	25	30	

Задание № 83

ПРОЕКТИРОВАНИЕ И ИССЛЕДОВАНИЕ МЕХАНИЗМОВ ПОДАЧИ ДЕТАЛЕЙ НА ТРАНСПОРТЕР

Устройство предназначено для подачи деталей из накопителя деталей (магазина) на транспортер прерывистого действия с шагом H .

Подача деталей 7 из магазина 8 на транспортерное устройство 8 осуществляется рычажно-шарнирным механизмом $ABCDEF$ (рис. 83а), состоящим из кривошипа I, шатуна 2, коромысла 3, имеющего паз, в котором скользит ролик 4, связанный шарниром с ползуном 5. В пазе не 5 имеется отверстие для приема одной детали и передвижения ее на транспортер. Механизм прерывистой подачи работает согласованно с другими технологическими машинами. После подачи каждой детали, производимой за время поворота кривошипа I на угол 360° , положение кривошипа I фиксируется в нижнем крайнем положении AB' . При выключении фиксатора кривошипа I вращается на угол 360° под действием предварительно заведенной пружины

P и поворачивает коромысло 3 на заданный угол γ_3 . Статическая характеристика пружины, жесткость которой $C = tg\beta = M_{pl\max}/105$ приведена на рис. 83б. Максимальный момент пружины $M_{pl\max} = C_2 (M_{F5}^{op})_{max}$, где C_2 - коэффициент увеличения максимального момента при заводе, а $(M_{F5}^{op})_{max}$ - максимальный момент сил трения F_5 в направляющих ползуна 5, приведенный к звену I.

Завод пружины P осуществляется поворотом корпуса K кривошипа I на угол 560° периодически за счет углового хода толкателя 12 кулачкового механизма II-12 через звездочку переключения I3-I4-I5-16. Когда крутящий момент на корпусе пружины достигает величины $M_{pl\max}$, выключается муфта предельного момента, установленная на валу колеса I4-I5.

Кулачок II, установленный на выходном валу O планетарного редуктора 17-18-19-20-21, получает движение от электродвигателя Э, который вращается непрерывно со скоростью n_{Ed} . Закон изменения ускорения толкателя I2 приведен на рис. 83в, г. Время полного оборота кривошипа I, соответствующее подаче и возврату звена 5 на шаг H , определяется при динамическом исследовании механизма подачи.

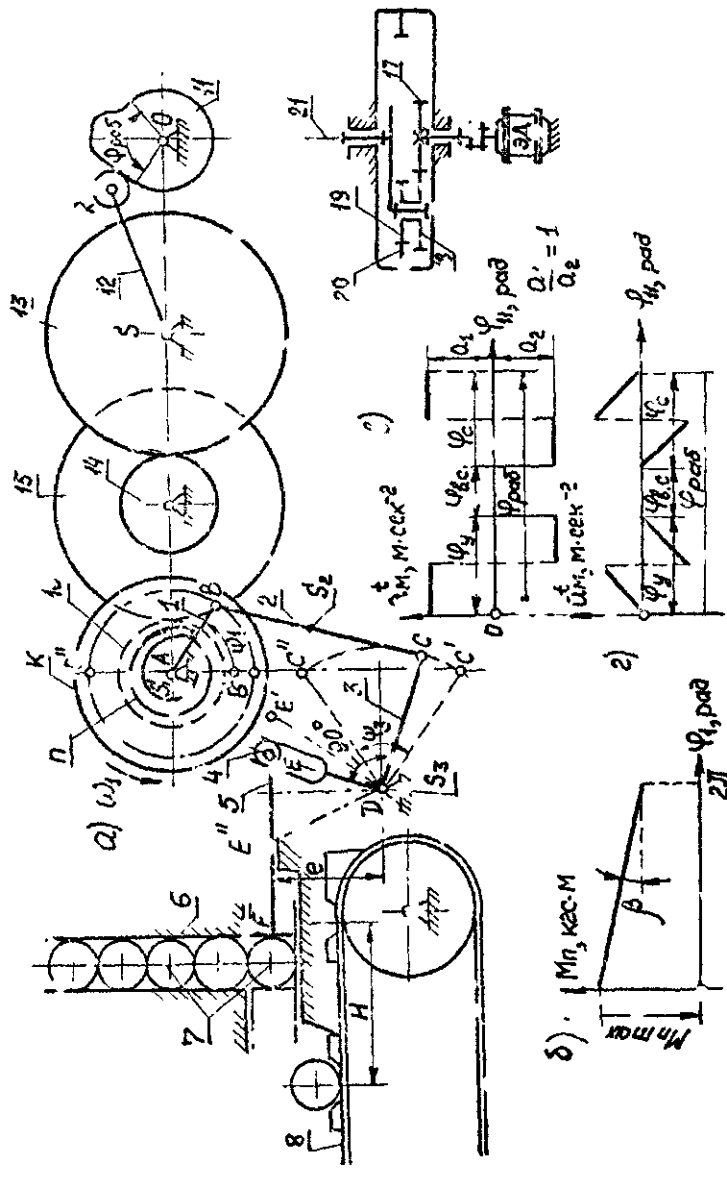


Рис. 33

Таблица 33-1

Исходные данные

№ по под.	Наименование параметра	Обозначение	Размерность	Числовые значения для вариантов				
				A	B	V	Г	Д
I	Шаг транспортерной ленты	H	м	0,20	0,18	0,16	0,14	0,12
2	Угол качания коромысла CD	ψ_3	град	60	65	70	75	80
3	Длина коромысла CD	ρ_{3C}	м	0,25	0,28	0,20	0,18	0,15
4	Относительная длина шатуна CF	$\lambda_1 = \frac{\rho_{3C}}{\rho_{EF}}$	-	3,2	3,3	3,3	3,0	3,1
5	Относительная длина ползуна EF	$\lambda_2 = \frac{\rho_{EF}}{H}$	-	2,5	2	2,5	2,5	2,5
6	Рес I и длина звена CB	$q = \frac{G_2}{\rho_{BC}}$	кгс.м	2,0	2,1	2,2	2,3	2,4
7	Сила трения при движении ползуна 5	F_5	кгс	4	3	3,5	3,2	3,0
8	Угловая координата для силового расчета	φ_1	град	80	60	70	150	70
9	Коэффициент увеличения механического колеса механизма привода при заводе	$C_2 = \frac{M_{pmax}}{M_{p5max}}$	-	3,0	4,0	3,5	3,0	4,5
10	Число зубьев колеса механизма привода пружин	Z_1 Z_4 Z_{15} Z_{16}	-	55 15 55 15	51 14 51 14	43 13 43 13	51 16 51 16	54 55 54 55
II	Длина толкателя кулачкового механизма	ℓ_{SA}	м	0,10	0,0	0,11	0,12	0,13

Продолжение табл. 33-1

1																				
12	дискриминно допустимые углы заворота в кулачковом механизме: при удалении толкателя	при удалении толкателя	треяк	20	25	22	20	24												
13	при сближении толкателя	треяк	35	36	37	30	30	26												
14	Фактические углы поворота кулачка: при удалении толкателя при верхнем стоянии при сближении толкателя	гравий гравий стекло	90° 45° 45°	90 75 120	60 60 80	45 70 100	35 50 55	80 50 120												
15	передаточное сношение планетарного редуктора	-	-	7,2	8,2	10,2	15	19												
16	Скорость вращения электродвигателя	730	0,5/мин	1440	1510	1460	1480	1450												
17	Момент зумпфных конусов	7	м	-	2	-	3	2,5												
18	Число сателлитов в редукторе	17	м	-	3	3	4	3												
	Задачи для выполнения	12	-	-	-	-	-	-												

Причеснаны: 1. При проектировании основного механизма определяются ℓ_{18} , ℓ_{20} , ℓ_{21} , ℓ_{22} (внешности).

2. Силы тяжести и моменты инерции звеньев, действующие на оси, проходящих через зенитные тяжести, подсчитываются по соотношениям: для шатуна 2 $J_2 = 9 \ell_{23}^2 \ell_{24}^2$ кгс·сек²; для коромысла 3 с противовесом $J_{3E} = J_{3D} = 6 J_{25}^2 \ell_{26}^2$ кгс·сек²; для коромысла 3 с противовесом $J_{3S} = J_{3A} = 0,7 J_{25}^2$; для ползуна 5 $J_5 = 5 \ell_{27}^2 \ell_{28}^2$ кгс.

3. Механическая характеристика пружины (рис. 62) строится по M_{max} и углу $\beta = \alpha \operatorname{ctg} C_1$.

4. Центр масс звена 2 находится посредством его углов.

Рис. 83

Причеснаны: 1. При проектировании основного механизма определяются ℓ_{18} , ℓ_{20} , ℓ_{21} , ℓ_{22} (внешности).

2. Число сателлитов планетарного редуктора $K = 3$.

3. Диаграмма угловой скорости $\omega = f(\varphi)$ строится в пределах первого оборота кривошипа 8, считая $\omega_{max} = 0$.

Задание № 8*

ПРОЕКТИРОВАНИЕ И ИССЛЕДОВАНИЕ МЕХАНИЗМОВ КИ ВОЛОДИНО-ПОЛЗУННОГО ПРЕССА

Вертикальный кривошлино-ползунный пресс (рис. 84а) предназначен для холодной штамповки (вырубки, гибки, вытяжки и др.).

Движение от электродвигателя 1 через зубчат., пару колес 2,3 и планетарный редуктор 3-4-5-6 и водило 7 передается кривошипу 8 и далее через шатун 9 ползуну 10, производящему штамповку деталей в матрице 11.

Характер изменения силы вытяжки P_{max} представлен на рис. 84б. Изменение движущего момента M_b на валу кривошипа 8 в зависимости от угла поворота кривошипа показан на рис. 84в.

Справа (рис. 84а) на ось кривошипа находится маховик 12, маховой момент которого помогает выполнению работ по прессованию, а с левой стороны расположены масляный насос 13 кулачкового типа (рис. 84г). Закон изменения ускорения толкателя 15 в пределах угла рабочего хода δ_p кулачка 14 представлен в виде косинусоиды из рис. 84д.

Примечания: 1. Модули зубчатых колес 2 и 3 принять зенитными 5 мм.

2. Число сателлитов планетарного редуктора $K = 3$.

3. Диаграмма угловой скорости $\omega = f(\varphi)$ строится в пределах первого оборота кривошипа 8, считая $\omega_{max} = 0$.

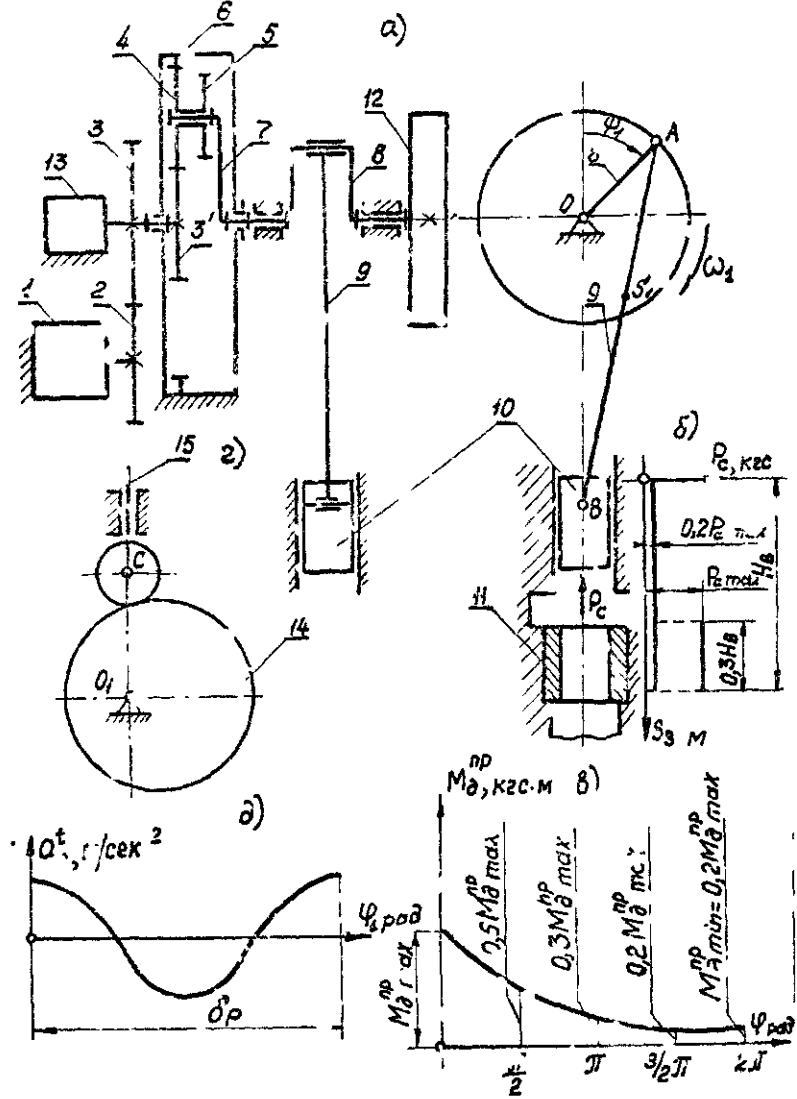


Рис. 84

Таблица 84-1

Исходные данные

№ по посл.	Наименование параметра	Значение	Размер- ность	Числовые значения для варианта
1	Средняя скорость ползуна	V_{cp}	м/сек	0,5
2	Отношение длины шатуна к длине кор. опоры	$\frac{L_{AB}}{L_{AO}}$:	4,0
3	Отношение расстояния центра тя- жести шатуна от точки А к дли- не лагуты	$\frac{L_{AO}}{L_{AB}}$	-	0,50
4	Скорость вращения электродвига- теля без нагрузки	n	об/мин	1420
5	Сила тяжести шатуна	G_1	кг	40
6	Сила тяжести ползуна	G_2	кг	60
7	Момент инерции шатуна относитель- но оси, проходящей через его центр тяжести	J_{25}	кгс·м·сек ²	1,0
8	Усилие вытяжки	$P_{c\text{так}}$	кгс	300
9	Движущий момент на валу кривошила	$M_{p\text{так}}$	кгс·м	20
10	Сумма моментов инерции вращающихся заготовок, звездочек колес, на- саса, изховинка, приведенных к валу кривошипа	J_{cp}	кгс·м·сек ²	1,5
11	Угловая координата кривошипа для цифрового расчета (от вертикали)	φ_1	град	30
12	число зъбьев колес 2 и 5	φ_2	град	120
13	угол, под которым прошли кулачка	α_{cp}	град	180
14	ход гололетеля кулачка	α_{cp}	град	0,075
15	наибольший допустимый угол	$\alpha_{cp\text{доп}}$	град	35
2,6	Скорость вращения роторов -	ω_{cp}	об/мин	48

Задание № 85
ПРОЕКТИРОВАНИЕ И ИССЛЕДОВАНИЕ МЕХАНИЗМОВ ПРИВОДА
КОВША ЭСКАВАТОРА

Одноковшовый экскаватор с гидроприводом, размещаящийся на пневмоколесном тракторе, предназначается для механизации земляных работ.

Механизм движения ковша I экскаватора с гидроприводом (рис. 85а) состоит из стрелы 2, качающихся цилиндров 3,5,6', поршней со штоками 4,6,6', рамы 7, шестеренчатого насоса 8, коробки отбора мощности 9, получающей движение от д...с. 10 пневмоколесного трактора II.

Заполнение ковша I землей совершается при неподвижной опущенной стреле 2 (рис. 85б) за счет поворота рукояти I ковша вокруг оси A на угол β_{max} при перемещении двух поршней со штоками 6 и 6' под действием давления P_3 в цилиндре 5. Диаграмма изменения этого давления в цилиндрах 5 и 6' приведена на рис. 85в. Изменение момента M_c сил сопротивления грунта при заполнении ковша представлено на рис. 85г. Конечное давление (P_o)₅ определяется из условия равенства работ в конце поворота ковша движущей силы A_{gs} и работы момента сил сопротивления A_{c1} . Подъем ковша с землей осуществляется стрелой 2, совершающей поворот вокруг оси O на угол β_{max} за счет передвижения штока 4 усилием, развивающимся под действием давления P_3 в цилиндре 3. Характер изменения P_3 такой же, как и в цилиндре 5 (рис. 85в). При подъеме определяется сопротивление, обусловленное силе и тяжести ковша с грунтом G , (точка приложения S₁) и звеньев 2-3-4-5-6. Величина давления (P_o)₃ определяется из условия равенства работ в конце подъема стрелы 2 от движущей силы A_{gs} и работы сил сопротивления A_{c2} .

Давление в гидросистеме обеспечивается масляным насосом 8, получающим движение от коробки отбора мощности 9, состоящей из зубчатой передачи 12-13 (рис. 85д) с неподвижными ссыми и зубчатого планетарного редуктора 14-15-16-17-18, водило 18 которого связано с валом насоса 8.

Управление газораспределением д.в.с. осуществляется кулачковым механизмом (рис. 85е), закон движения толкателя 19 которого в пределах рабочего угла поворота δ_p кулачка 20 представлен на рис. 85ж.

Примечания: 1. Синтез рычажного механизма включает: определение размеров звеньев двух механизмов с качающимися цилиндрами РF-AP-AF и OB-OC-BC по заданным ходам поршней H_6 и H_4 , длинам стойки ℓ_{OB} и ℓ_{AP} , углам поворота β_{max} звена OA и γ_{max} звена AF при полном ходе поршней H_4 и H_6 . Длина звеньев принимается в пределах:

$$\ell_{OA} = (1,22 \div 1,24) \ell_{OB}; \quad \ell_{AP} = (0,82 \div 0,8) \ell_{OB}, \quad \ell_{AK} = (3,1 \div 4,0) \ell_{AF}, \quad \ell_{RK} = (0,5 \div 0,4) \ell_{AF}. \quad \text{Размеры ковша находятся из соотношения } \ell_{RK}: \ell_{KT}: \ell_{TR} = 1,0 : 1,3 : 1,6.$$

2. Центры масс звеньев 2, 3, 4, 5, 6 принять посередине звеньев а ковша с грузом - в центре тяжести ковша (треугольник KTR на рис. 85б).

3. В качестве звена приведения рекомендуется брать звено AF при повороте ковша вокруг оси A и звено OA - при подъеме стрелы 2.

4. Силами тяжести звеньев 2, 3, 4, 5, 6 при приведении сил можно пренебречь из-за величинности их по сравнению с силой тяжести ковша I с грузом.

5. Работа сил сопротивления A_c (или движущих сил A_d) определяется как площадь под кривой соответствующих сил за рассматриваемый интервал пути звена приведения.

6. Полное время работы экскаватора $t_{общ}$ складывается из времени заполнения ковша t_1 , при повороте рычага AF на угол β_{max} и времени подъема t_2 стрелы 2 в крайнее верхнее положение.

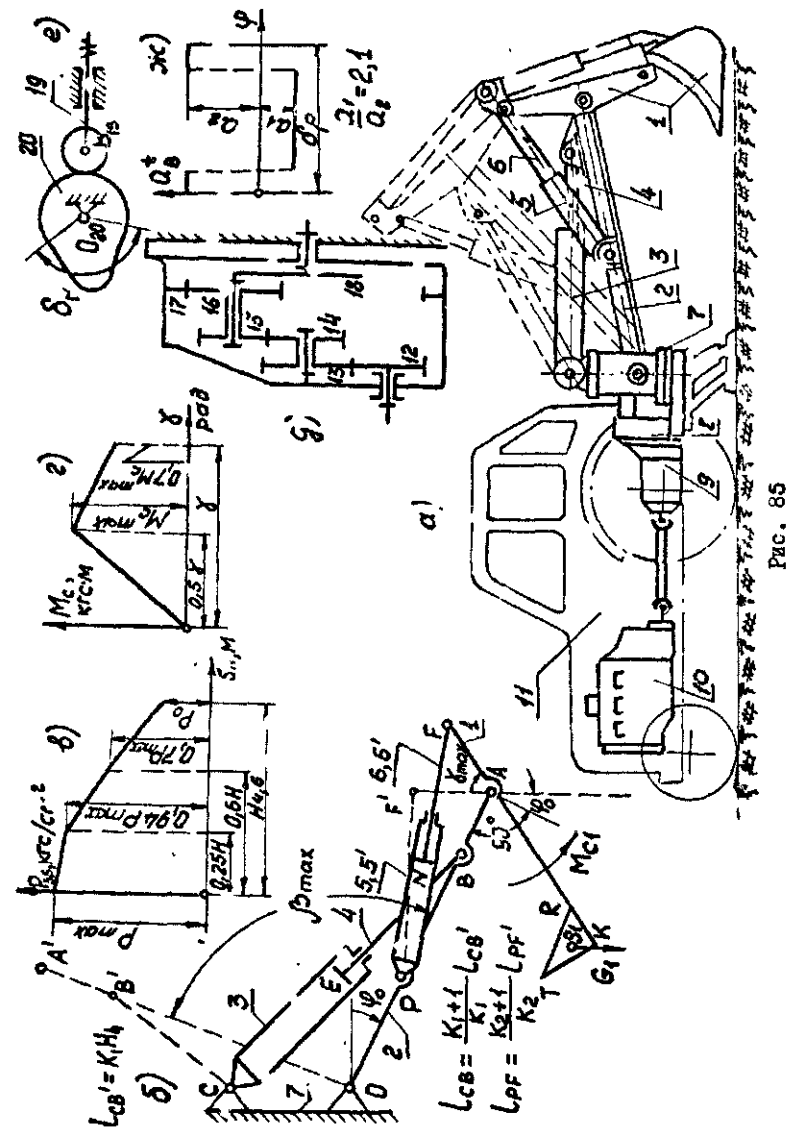


Рис. 85

Исходные данные

№ п/п.	Наименование чертежа	Обозна- чение	Размер- ность	Числовые значения для звездочек					
				A	B	V	G	A	
1	Ход портня 4 стрелы 2	H_4	м	1,06	1,02	6	7	8	9
2	Отношение длины звена CB' к ходу портня 4	$K_1 = \frac{L_{CB'}}{H_4}$	-	1,3	1,22	1,26	1,25	1,07	
3	Длина стойки	$\frac{L_{OC}}{H_4}$	м	0,7	0,72	0,8	0,88	0,7	
4	Г пустотный угол давления	град	76	77	75	73	70		
5	Максимальный угол поворота стремы 2	β_{max}	град	100	99	96	88	85	
6	Ход портня 6 рукотки. I угол давления для звена PF' в ходу портня 6 (при вертикаль- ном положении APF')	H_6	м	0,53	0,62	0,66	0,56	0,47	
7	Небольшой угол поворота руко- тки I	$K_2 = \frac{L_{PF'}}{H_6}$	-	2,5	2,0	2,3	2,5	2,3	
8	Максимальный момент сопротив- ления прутка за ковш	f_{max}	град	76	70	72	76	70	
9	Диаметр цилиндра 3.	M_C	кгс·м	925	910	930	900	800	
10	Диаметр каждого из двух цилин- дров F и G	d_3	мм	80	75	70	72	70	
11	Максимальное давление в цилин- драх 3 и 5	d_5	мм	56	50	52	54	52	
12	Сила тяжести ковша с грузом	ρ_3	кгс/см ²	54,	60	58	56	58	
		ρ_5	кгс/см ²	34,	46	42	38	41	
		G_1	кгс	500	550	450	550	400	

Таблица 85-1

Продолжение табл. 85-1

I	2	3	4	5	6	7	8	9
13	Сила тяжести единицы длины звеньев, $\text{Н} \cdot \text{м}$	q_1, q_2 звеньев 3,5 звеньев 4,6	q_3, q_4, q_6	q_5, q_6	q_7, q_8	q_9, q_{10}	q_{11}, q_{12}	q_{13}, q_{14}
14	Момент инерции крыла с грузом относительно оси, проходящей через точку	J_{13}, J_{14}	J_{15}, J_{16}	J_{17}, J_{18}	J_{19}, J_{20}	J_{21}, J_{22}	J_{23}, J_{24}	J_{25}, J_{26}
15	Момент инерции звена 2 относительно центра тяжести	J_{13}, J_{14}	J_{15}, J_{16}	J_{17}, J_{18}	J_{19}, J_{20}	J_{21}, J_{22}	J_{23}, J_{24}	J_{25}, J_{26}
16	Момент инерции звеньев 3,5 и 4,6 относительно центров тяжести	J_{13}, J_{14}	J_{15}, J_{16}	J_{17}, J_{18}	J_{19}, J_{20}	J_{21}, J_{22}	J_{23}, J_{24}	J_{25}, J_{26}
17	Масса насоса 3, редуктора 3, карданных колес трактора, приделенных к точке B звена 2	m_3	m_4	m_5	m_6	m_7	m_8	m_9
18	Угловая координата звена 2 для сильного раствора	φ_2	φ_3	φ_4	φ_5	φ_6	φ_7	φ_8
19	Число зубьев колес зубчатой передачи 12-13	Z_{12}	Z_{13}	Z_{14}	Z_{15}	Z_{16}	Z_{17}	Z_{18}
20	Модуль зубчатых колес 12-13	m_7	m_8	m_9	m_{10}	m_{11}	m_{12}	m_{13}
21	Передаточное отношение планетарного редуктора	i_{12-13}	i_{14-15}	i_{16-17}	i_{18-19}	i_{20-21}	i_{22-23}	i_{24-25}
22	Скорость вращения кулачкового вала	n_K	n_L	n_M	n_N	n_O	n_P	n_Q
23	Ход толкателя кулачкового механизма	λ	λ	λ	λ	λ	λ	λ
24	Максимально допустимый угол давления механизма	α_{12}	α_{14}	α_{16}	α_{18}	α_{20}	α_{22}	α_{24}
25	Угол рабочего профиля кулачка механизма	β_{12}	β_{14}	β_{16}	β_{18}	β_{20}	β_{22}	β_{24}

Приложени: 1. Планетарный редуктор имеет три сателлита ($K = 3$).
2. Радиус ролика $r_0 = 0,25$ ($r_0 = 20$).

Задание № 86

ПРОЕКТИРОВАНИЕ И ИССЛЕДОВАНИЕ МЕХАНИЗМОВ ПЕРЕМЕЩЕНИЯ КРЫШКИ ЛЮКА

Механизм перемещения крышки люка (рис. 86а, б), состоит из гидроцилиндра I, штоке с поршнем 2 и плиты 3, закрывающей люк 4. Плита, вращаясь вокруг оси O , перемещается строго горизонтально под действием силы со стороны гидроцилиндра, характер изменения давления в котором представлен на рис. 86в. При этом действует момент трения M_{tr} (рис. 86г), появляющийся в стыках плиты "а" опоры, диаграмма изменения которого строится по данным табл. 86-2.

Нагнетание масла в полость цилиндра осуществляют я шестеренчатым часосом 7 (с шестернями 8,9), приводимым во вращение планетарным редуктором 10-11-12-13-14, соединенным муфтой 15 с электродвигателем 16.

Изменение давления в цилиндре I обеспечивается регулятором 5, в кулачкового типа (рис. 86д).

Зависимость изменения ускорения толкателя 6 в пределах рабочего угла $\varphi = 0^{\circ}$ до 90° поворота кулачка 5 представлена косинусоидой (рис. 86е).

Примечания: 1. Центр масс звеньев при расчетах принят по середине звеньев. Моменты инерции звеньев I, 2 определяются по формуле $J_{si} = 0,12m_i l_i^2$, где m_i масса, l_i - длина звена.

2. Число сателлитов планетарного редуктора $K = 3$.

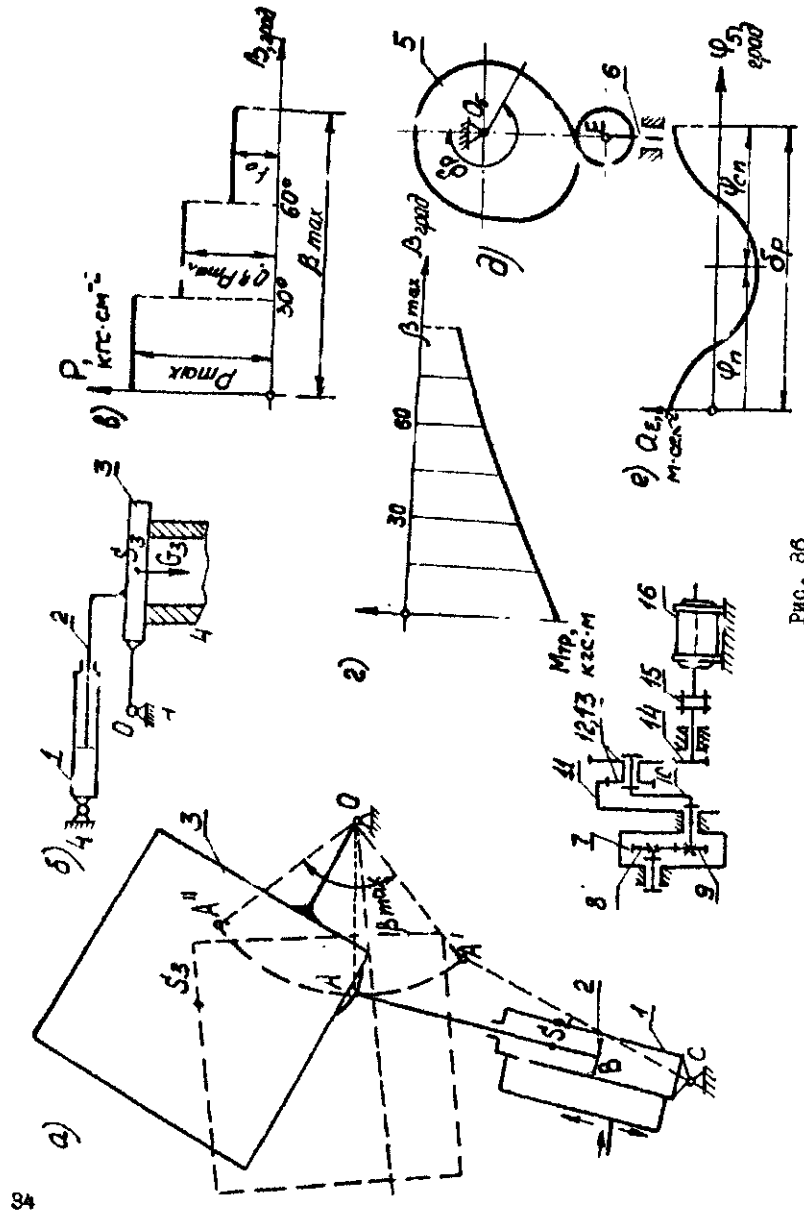


Рис. 38

Таблица 86-1

№ пос.	Наименование параметра	Обозна- чение	Размер- ность	Число ве- личин для задания				
				A	B	V	Г	Д
1	2	3	4	5	6	7	8	9
1	1) расстояние между осями поворота плит 0 и шарнира крепления стока гидроцилиндра C	$\rho_{\text{ст}}$	м	1,5	1,2	1,3	1,4	1,5
2	угол поворота плиты при открытии	β_{\max}	град	90	95	100	95	90
3	ход поршня 2	H_d	см	75	60	65	70	75
4	шаг стоковиков между ходами по горизонтали на оси шарнира крепления стока	$K_1 = \frac{\rho_{\text{ст}}}{H_d}$	-	1,1	1,2	1,15	1,2	1,15
5	нормальный полуострый угол в зонах в мехах с качанием гидроцилиндров	α	град	60	65	70	75	80
6	нормальный момент трения	$M_T \max$	кгс·м	800	860	840	820	880
7	сила тяжести плиты и штока 2	G_2	кгс	45	50	45	40	60
8	сила тяжести цилиндра 1	G_1	кгс	30	35	30	28	40
9	момент силы давления в цилиндре	P_{\max}	кгс/см ²	40	30	25	35	30
10	момент инерции плиты в отноше- нии оси поворота плиты	J_z	кгс·м ²	6,0	5,3	6,2	6,3	6
11	частота электродвигателя	$n_{\text{двиг}}$	об/мин	10000	10000	10000	10000	10000
12	частота вибратора	Z_d	Гц	20/10	18/12	28/13	22/11	18/12

Продолжение табл. 86-1

	2	3	4	5	6	7	8	9
13	Модуль зубчатых колес 8,9	m	мм	4,5	3,5	4	5	4,5
14	Диаметр кулачкового механизма	h	м	0,012	0,013	0,014	0,011	0,015
15	Максимальный допустимый угол газования в кулачках зон механизма	$\alpha_{дел}$	град	20	22	24	20	22
16	Рабочий угол поворота кулачка	β	град	240	260	280	260	240
17	Угловая координата для силового расчета	n_x	об/мин	15	20	10	30	15
18	Скорость вращения кулачка			50	60	70	60	50

Таблица 36-2

Зависимость момента $M_{тр}$ от угла поворота платы β

β	град	0	15	30	45	60	75	$\beta_{раз}$
$\frac{M_{тр}}{M_{трmax}}$	-	1	0,9	0,72	0,6	0,5	0,43	0,35

Задание № 97

ПРОЕКТИРОВАНИЕ И ИССЛЕДОВАНИЕ МЕХАНИЗМОВ ИЗМЕНЕНИЯ ВЫЛЕТА ПОРТАЛЬНОГО КРАНА

Портальные краны применяются для механизации погрузочно-разгрузочных работ в морских и речных портах. Стреловое устройство крана (рис. 87а) выполнено по схеме механизма Чебышева ("грифиле Чебышева") и состоит из стрелы 3, хобота 5, укосины 6 и стойки 4. Размеры звеньев этого механизма подобраны так, что при изменении угла ψ от его наименьшего значения $\psi_1 = 55^\circ$ (наибольший вылет крана) до его наибольшего значения $\psi_2 = 95^\circ$ (наименьший вылет) крюковая обойма (точка E) перемещается на рабочей части траектории практически по горизонтальной прямой. Изменение наклона стрелы 3 осуществляется с помощью четырехзвездочного механизма $OABF$, одним из звеньев которого является стрела 3, а остальные - кривошип I, шатун 2, стойка 4. (Коэффициент износа средней угловой скорости $K_{\omega} = 1$).

Вращение кривошипа I от электродвигателя 7 (рис. 87б) осуществляется через зубчатую передачу 9,10 (модуль $m = 5$ мм), планетарный редуктор II и зубчатую передачу I5, I6. Планетарный редуктор II представляет собой сдвоенную последовательно расположенную планетарную передачу, состоящую из однозубых колес 12, I7, I4; число сателлитов $K = 3$ в каждом ряду.

На валу электродвигателя насажен центробежной шкив гармошки 8 механизма. Колесо 13 выполнено заодно с кулачком 17, перемещающим подшипник 18, масляного насоса (рис. 87в).

Закон изменения ускорения толкателя 18 кулачкового механизма в пределах рабочего угла кулачка I7 показан на рис. 87г. Внесено сноска толкатель $e = 0,005$ м, максимально допустимый угол деления $\alpha_{дел} = 30^\circ$. Крутящий момент M асинхронного электродвигателя 7 трехфазного тока задан в функции скорости (рис. 87д). На этом графике $P_{кр}$ - число оборотов, соответствующее критическому моменту $M_{кр}$ на валу электродвигателя; $P_{хх}$ - то же на холостом ходу электродвигателя; $P_{кр} = 0,8 P_{хх}$. Если угловую скорость электродвигателя выражать в долих от угловой скорости холостого хода $x = \frac{\omega}{\omega_{хх}}$, то функция $M = f(x)$ на рабочем участке характеристики электродвигателя $0,85 < x < 1$ (лини cd на рис. 87д) может быть аппроксимирована линейной зависимостью $M = 16M_{кр}(1-x)$.

где M_n - момент электродвигателя при номинальной нагрузке.

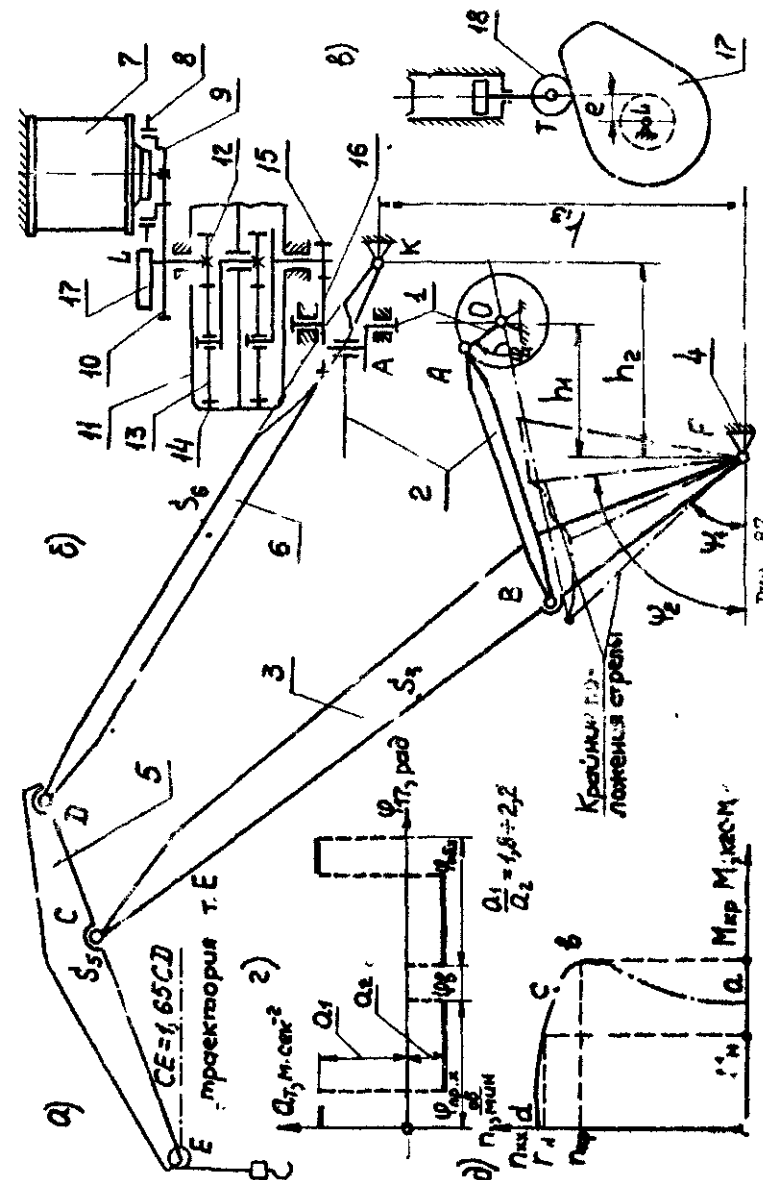
Причесания: I. Потери на трение в кинематических парах механизма не зависят от положения механизма и их приведенный к валу электродвигателя момент составляет $M_{tp}^{\text{тр}} = 0,4 M_H$.

2. При заданных условиях в процессе работы механизма можно выделить две стадии. Во время первой стадии электродвигатель после включения практически мгновенно набирает скорость от 0 до значения ω_1^* , соответствующего $M_{T_1}^*$. Поэтому первая стадия протекает чрезвычайно быстро, так что стрела практически не успевает переместиться. Во время второй стадии стрела поворачивается из одного крайнего положения в другое. При этом работа электродвигателя происходит на рабочем участке его характеристики (рис. 87д, участок dc). Динамический анализ этой второй стадии и надлежит сделать, приняв $\Phi_{нou}=0$; $C_{нou}=0$;

$$(\omega_1)_{\text{HOA}} = \frac{\omega_7^*}{i \omega_m}.$$

3. Центр масс звеньев 3 и 6 находится посередине этих звеньев, звено 5 - в точке C . Массами звеньев I : 2 мож.о пренебречь.

4. Угловую скорость кулачка считать постоянной и разной скорости, соответствующей работе механизма при M_H .



Date 87

Исходные данные

Таблица 67-1

№ по порядку	Наименование параметра	Обозна- чение	Размер- ность	Числовые значения для в.н.в.				
1	2	3	4	5	6	7	8	9
1	Конструктивные размеры	ℓ_{xc} ℓ_{2x} h_1 h_2 h_3 ℓ_{FB} G_3 G_5 G_6 J_{3F} J_{5C} J_{6K}	м м м м м м тс тс тс кгс.м.сек ² кгс.м.сек ² кгс.м.сек ²	17 3 3,5 4,5 8 5 10 3,5 1,5 120000 340 11500 150000 400 14000	20 4 3,5 4,5 8 5 12 4,2 2 150000 400 16000 200000 500 16000	28 18 4 5 9 5 15 3 3 190000 400 16000 130000 500 12000	17 3 13,5 3,0 4,0 7 5 4 1,7 1,0 1,4 1000 34 0,01	21 4 17 3,5 4,0 7 5 4,5 2 1=0000 400 15000 0,005 0,007
2	Силы тяжести	G_4 G_7 J_{4P} τ_{xx} M_{kp}	тс тс тс.м. ² об/мр ¹ кгс.м	1,2 3 0,005 1,1 27	12 3 0,007 1,2 30	5 4 0,01 1,4 34	5 4 5 27 32	5 2 1,2 450 15000 0,005 0,007
3	Момент инерции: а) ступени 3 б) ходота 5 в) укосины 6	i_{mech} Z_9/Z_{10} Z_{15}/Z_{16}	- -	-	-	-	-	-
4	Угловая скорость деталей (зубчатые колеса, криボшины и т.д.) приведенный к валу электродвигателя	φ_1^*	град	60	90	120	90	60
5	Угловая скорость электродвигателя на холостом ходу	τ_{xx}	об/мин	750	750	1000	1000	750
6	Критический момент на валу электродвигателя	M_{kp}	кгс.м	27	30	34	27	32
7	Номинальный момент на валу электродвигателя	M_H	кгс.м	13,5	15	17	13,5	18
8	Переводное отношение механизма привода от 3-го до 16-го звена	i_{mech}	-	1100	1150	1250	1250	1200
9	Число зубьев колес	Z_9/Z_{10}	-	10/28	10/29	10/28	10/31	10/28
10	Угловая координата звена 1 для силового расчета	Z_{15}/Z_{16}	-	12/80	11/85	12/90	12/88	11/87
11	Ход гомователя кулечкового механизма	φ_1^*	град	60	90	120	90	60
12	Углы поворота кулечка, соответствующие:	h	м	0,025	0,03	0,025	0,03	0,025
13	а) прямому ходу	φ_{px}	град	60	70	80	60	80
14	б) обратному ходу толкателя	φ_{bx}	град	10	20	10	20	30
15	Соотношение между величинами ускорения толкателя	φ_{ax}	$\frac{a_1}{a_2}$	-	1,8	2,0	1,8	2,0

Продолжение табл. 67-1

1	2	3	4	5	6	7	8	9
7	Номинальный момент на валу	M_H	кгс.м	13,5	15	17	13,5	18
8	Переводное отношение механизма привода от 3-го до 16-го звена	i_{mech}	-	1100	1150	1250	1250	1200
9	Число зубьев колес	Z_9/Z_{10}	-	10/28	10/29	10/28	10/31	10/28
10	Угловая координата звена 1 для силового расчета	Z_{15}/Z_{16}	-	12/80	11/85	12/90	12/88	11/87
11	Ход гомователя кулечкового механизма	φ_1^*	град	60	90	120	90	60
12	Углы поворота кулечка, соответствующие:	h	м	0,025	0,03	0,025	0,03	0,025
13	а) прямому ходу	φ_{px}	град	60	70	80	60	80
14	б) обратному ходу толкателя	φ_{bx}	град	10	20	10	20	30
15	Соотношение между величинами ускорения толкателя	φ_{ax}	$\frac{a_1}{a_2}$	-	1,8	2,0	1,8	2,0

Задание № 88

ПРОФИЛИРОВАНИЕ И ИССЛЕДОВАНИЕ МЕХАНИЗМОВ ПОПЕРЕЧНО-СТРОГАЛЬНОГО СТАНКА С ДВОЙНЫМ ЧИСЛОМ РАБОЧИХ ХОДОВ

Поперечно-строгальный станок предназначен для строгания плоских поверхностей. Резание металла осуществляется резцом, закрепленным в резцовой головке 5 (рис. 88а) при ее возвратно-поступательном движении в горизонтальном направлении (вылет резца $\ell_p = 0,18 \text{ м}$). Для движения ползуна с резцовой головкой используется шестивалентный рычажный механизм, состоящий из кривошипа 1, шатуна 2, коромысла 3, шатуна 4, ползуна 5 и стойки 6.

Кривошип 1 приводится в движение электродвигателем 16 (рис. 88б), который шайбой 15 соединяется с планетарным редуктором (зубчатые колеса I2-I3-I4, число сателлитов $K = 3$). Выходной вал редуктора через открытую зубчатую передачу, состоящую из колес I0 и II, связан с валом кривошипа. На этом валу установлены также кривошип 17 и два кулачка 8 и 9 для осуществления перемещения стола 7 (подачи детали).

Ориентация звеньев 3, 4, 5 и их размеры позволяют получить удвоенное число рабочих и холостых ходов резцовой головки за один оборот кривошипа, что ведет к повышению производительности станка. При этом из-за неравенства $\varphi_{1,раб}$ и $\varphi_{2,раб}$ (угловые перемещения кривошипа, соответствующие первому и второму рабочим ходам) средние скорости резца в пределах рабочих ходов будут неизначительно (примерно 10-20%) отличаться друг от друга, что увязывается со соответствующей подачей детали, а следовательно, и со значениями сил резания (рис. 88в). В направляющих ползуна 5 постоянно действует сила трения F . Ход H ползуна выбирается в зависимости от длины ℓ_g обрабатываемой детали с учетом длины перебегов ℓ_p в начале и в конце рабочих ходов. Длина хода

H ползуна 5 может изменяться при наладке станка. Во время перебегов и холостых ходов осуществляется перемещение стола 7 на величину подачи обрабатываемой детали с помощью особого устройства, приводимого в движение кулачковым механизмом, с коромысловым толкателем (рис. 88г), состоящим из кулачка 3, толкателя 18 и ролика 19. Так как за один оборот кривошипа резец имеет два рабочих хода (и два холостых), то подача стола 7 осуществляется двумя ку-

лечками, закрепленными на валу I друг относительно друга на требуемый угол (170°).

Закон изменения тангенциальной составляющей ускорения точки E толкателя 18 представлен на рис. 88д.

Примечания: 1. Длины ходов H ползуна 5 в пределах рабочих асм будут равны при условии, что звено 3 имеет синетрическое отклонение от начального положения (положения, когда звенья 3, 4, 5 расположены по одной горизонтальной прямой). Отношение расстояния от точки A до центра тяжести S_2 шатуна 2 к длине шатуна $AS_2 : AB = 1 : 3$.

2. Станок приводится в движение асинхронным электродвигателем трехфазного тока, зависимость крутящего момента M которого от числа оборотов (угловой скорости, изображена на рис. 88е, где $M_{кр}$ - критический момент на валу электродвигателя; $n_{кр} = 1150$ - число оборотов, соответствующее $M_{кр}$; $\omega_{хх} = 1500$ - число оборотов холостого хода, $n_{ном} = 1410$ - номинальное число оборотов электродвигателя.

Если угловую скорость электродвигателя выразить в долях от угловой скорости его холостого хода $x = \frac{\omega}{\omega_{хх}}$, то заданная механическая характеристика электродвигателя может быть аппроксимирована на участке ac функцией $M = M_{кр} \frac{4}{5} (4x^2 - \frac{1}{6} + 1)$, а на участке ca' функцией $M = M_{кр} \frac{4}{5} (24x^2 - 37x + 13)$.

3. При пуске станка механизм подачи отключен и мощность двигателя на его работу не расходуется. Начальная угловая скорость при разгоне $\omega_{нач} = 0$.

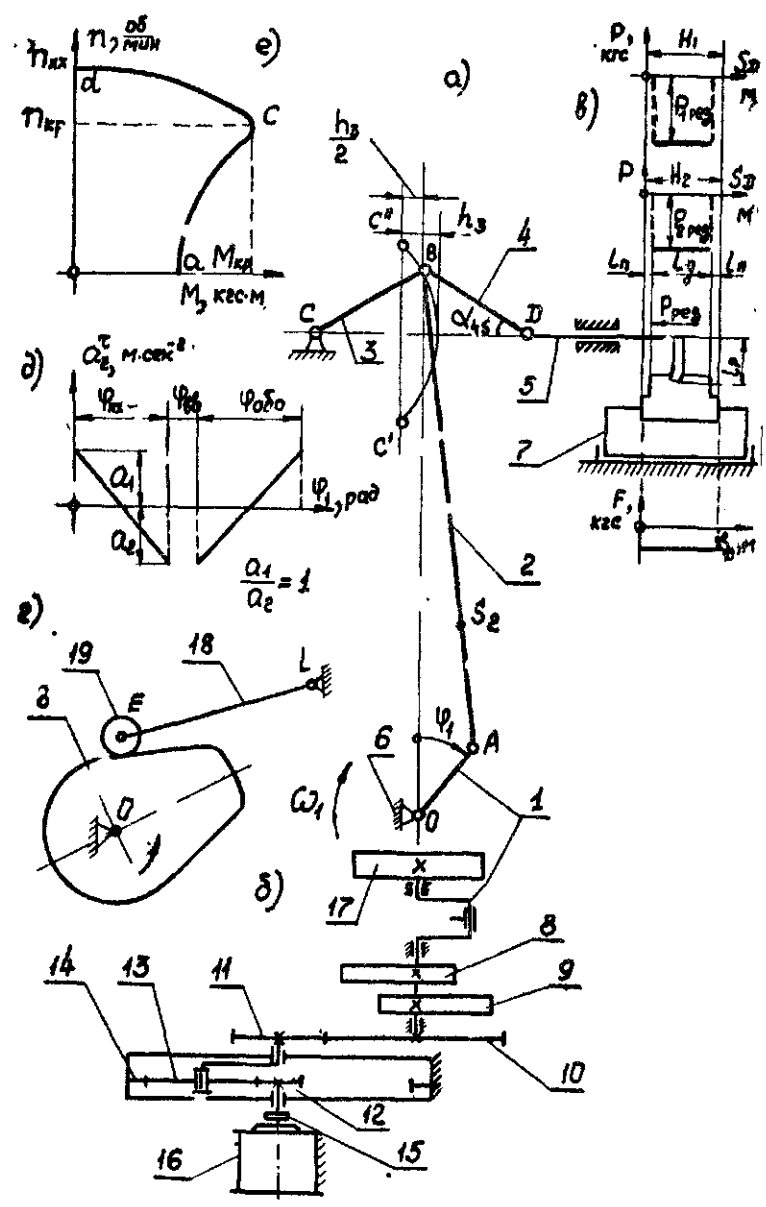


Рис. 88

Таблица 88-1

Исходные данные

№ пор.	Наименование параметра	Обозна- чение	Размер- ность	Числовые значения заданных					
				A	B	V	G	D	
I	Длина детали	L_g	м	3	4	5	6	7	9
2	Длина передела резца	L_n	м	0,07	0,06	0,05	0,07	0,09	
3	Несимметрично допускаемый угол дуги дуг звеньев 4-5	α_{45}	град	0,015	0,012	0,02	0,018	0,02	
4	Отношение длины кривомата 1 к длине шатуна 2	ℓ_{OA}/ℓ_{AB}	-	1/5	1/6	1/6	1/5	1/6	
5	Длина резбины	$E_{1,рез}$	мм	12	100	140	120	150	
6	Число резьбина	$P_{2,рез}$	мм	80	70	100	80	125	
7	Сила трения	F	НТс	1,5	1,2	2,0	2,0	2,5	
8	Сила тяжести шатуна 2	G_2	Нт	2+	2,2	3,0	2,8	3,2	
9	Сила тяжести ползуна 5	G_5	Нт	70	60	80	80	90	
I	Угол между плоскостями трения в некоторых координатах передних механизма	M_{TP}	НТс.м	1,2	1,6	1,3	1,7		
II	Угловой координаты колеячатого вала для силового расчета	φ_1	град	270	240	210	240		
III	Коэффициент электродвигателя	$N_{эл}$	кВт	0,5	0,6	1,0	0,6	1,0	
IV	Коэффициент момента электродви- гателя	$M_{эл}$	НТс.м	14	25	14	27		
V	Релативное отклонение от элек- тродвигателя 10 до крановчика -	-	град	1,5	1,0	1,0	1,0		

5

Продолжение табл. 88-1

		1	2	3	4	5	6	7	8	9
15	Момент инертии ротора электродвигателя, приведенный к валу кривошипа 1	J_{ar}^{rp} кгс.м.сек ²	0,12	0,18	0,13	0,18				
16	Сумма моментов инерции редуктора, зубчатых колес 10 и 11, приведенных к валу кривошипа 1	J_{ar}^{rp} кгс.м.сек ²	0,28	0,25	0,32	0,30	0,34			
17	Момент инерции машины 17	J_{ar}^{rp} кгс.м.сек ²	3,5	3,2	3,5	3,6	3,6			
18	Момент инерции машины 2 относительно оси, проходящей через центр S_2 его масс	J_{2S} кгс.м.сек ²	0,12	0,18	0,14	0,18				
19	Число зубьев колес 10, 11, с модулем $m = 5$ мм	Z_{10}/Z_{11}	-	10/12	11/12	11/24	11/27	12/28		
20	Длина коромысла 18	ℓ_{EL} м	15	18	20	18	15	20		
21	Угловой ход коромысла 18	β град	40	30	35	30	40			
22	Максимально допустимый угол давления в кулаковом механизме 1), соответствующие:	α_{dop} град	40	35	40	30	45			
23	Углы поворота кулаков (и звена 1), соответствующие: а) прямому ходу толкателя 18 б) верхнему выстон толкателя 18 в) обратному ходу толкателя 18	φ_{1a} град	15	20	15	20				
24	Начальное положение звена 1 при разгоне	φ_{1H} град	180	90	180	90	180	90	180	90

ОБЪЕМ И СОДЕРЖАНИЕ КУРСОВОГО ПРОЕКТА

Курсовой проект включает графическую часть (четыре листа формата А4) и расчетно-пояснительную записку (ее ориентировочный объем 30-35 страниц формата А4).

Лист 1. Проектирование основного механизма и определение закона его движения

1. Определение основных размеров звеньев механизма по заданным условиям.
2. Определение закона движения механизма при неустановившемся режиме (построение диаграммы изменения угловой скорости и углового ускорения звена приведения за время работы механизма).
3. Построение диаграммы времени движения.

Лист 2. Силовой расчет основного механизма

1. Определение углового ускорения звена приведения и уравнение движения в дифференциальной форме в заданном положении механизма. Определение линейных ускорений центров тяжести и угловых ускорений звеньев.
2. Построение картины силового нагружения механизма.
3. Определение сил в кинематических парах механизма.
4. Оценка точности расчетов, выполненных за 1-м и 2-м листах.

Лист 3. Проектирование зубчатой передачи и планетарного редуктора

1. Выполнение геометрического расчета звездочки зубчатой передачи при нарезании колес инструментом со стандартным рабочим исходным контуром ($\alpha = 20^\circ$; $A^* = 1,0$; $C^* = 0,25$).
2. Построение схемы стакочного зацепления при нарезании колеса с меньшим числом зубьев и профилирование азуба (включая переходный контур) методом огибания.
3. Построение схемы зацепления двух колес с указанием основных размеров и элементов колес и передачи.
4. Проектирование планетарного редуктора (подбор чисел зубьев) по заданной схеме, передаточному отношению и известному числу

- сателлитов. Зубчатые колеса редуктора нулевые, имеющие модуль, равный единице.
5. Построение треугольников линейных скоростей (плана чисел оборотов) звеньев спроектированного редуктора и проверка передаточного отношения графическим способом.

Лист 4. Проектирование кулачкового механизма

1. Построение кинематических диаграмм движения толкателя по заданному закону изменения ускорения его.
2. Определение основных размеров кулачкового механизма наименьших габаритов по заданному допустимому углу давления $\alpha_{\text{доп}}$.
3. Построение центрового и конструктивного профиля кулачка.
4. Построение диаграммы изменения угла давления в функции угла поворота кулачка.

СОДЕРЖАНИЕ

Задание № 79. Проектирование и исследование механизмов мотороллера	3
Задание № 80. Проектирование и исследование механизмов двухступенчатого двухцилиндрового воздушного компрессора	7
Задание № 81. Проектирование и исследование механизмов односильнидровой двухступенчатой компрессорной установки	12
Задание № 82. Проектирование и исследование механизмов мембранического насоса	17
Задание № 83. Проектирование и исследование механизмов подачи деталей на транспортер	21
Задание № 84. Проектирование и исследование механизмов крикошипно-ползунного пресса	25
Задание № 85. Проектирование и исследование механизмов привода ковша экскаватора	28
Задание № 86. Проектирование и исследование механизмов перемещения крышки люка	33
Задание № 87. Проектирование и исследование механизмов изменения вылета порталльного крана	37
Задание № 88. Проектирование и исследование механизмов поперечно-строгального станка с двойным числом рабочих ходов	42
Объем и содержание курсового проекта.	47